

# 高导电性 BaRuO<sub>3</sub> 薄膜及其脉冲激光沉积

许华平 辛火平 郑立荣 林成鲁

(中国科学院上海冶金研究所信息功能材料国家重点实验室, 上海 200050)

顾梅 曹泽淳

(上海大学材料学院, 上海 201800)

**提要** 钇酸盐是典型的  $ABO_3$  型过渡金属氧化物, 具有金属导电性, 其薄膜可作为电极材料用于集成铁电等器件中。分析了  $BaRuO_3$  的钙钛矿晶体结构和导电机制, 并利用 ArF 准分子脉冲激光沉积 (PLD) 技术, 结合后续退火处理, 在 Si(100) 衬底上生长出具有  $\langle 110 \rangle$  取向、室温电阻率约  $10^{-2} \sim 10^{-3} \Omega \cdot cm$  的  $BaRuO_3$  高导电性薄膜,俄歇能谱(AES)和 Rutherford 背散射谱(RBS)分析表明: 薄膜  $BaRuO_3$  的纯度高、成分均匀性好,  $BaRuO_3/Si$  界面存在扩散过渡层。

**关键词** 脉冲激光沉积, 过渡金属氧化物, 钇酸盐薄膜

## 1 引言

理想钙钛矿结构  $ABO_3$  型金属氧化物属  $Pm\bar{3}m$  空间群, 具有立方对称性, 它由共角  $O_6$ -八面体构成, A 离子占满较大的十四面体间隙, B 离子占据较小的八面体间隙。其中 A, B 可被许多金属离子置换, 形成  $ABO_3$  化合物成分的复杂性和结构的多型性, 使其物理性质覆盖了从铁电体、绝缘体(介质)、半导体、导体到超导体的整个电子领域<sup>[1]</sup>, 这种晶体结构和化学成分上的兼容性与其物理性质的巨大差异将使异质结研究更趋活跃。

过渡金属钌(Ru)位于元素周期表第 5 周期, 最外层电子结构特征是  $(4d^7 5s^1)$ , 与二价金属离子易形成钙钛矿结构或有钙钛矿结构单元特征的  $ABO_3$  型复杂钌酸盐氧化物。其中, 最简单而又最重要的 Ru 基三元氧化物有  $CaRuO_3$ 、 $SrRuO_3$  和  $BaRuO_3$ , 它们都有良好的金属导电性(低电阻率和高的正温度系数)和高化学稳定性。前两种为四方钙钛矿结构, 将是集成铁电的最佳候选薄膜电极材料之一; 而  $BaRuO_3$  呈扭曲的六方钙钛矿结构, 其薄膜可在混成电路中得到应用, 并有望首先研制出新一代高分辨率的高速热印头。

继 Toshiba 公司<sup>[2]</sup>于 1986 年报道用 RF-磁控溅射制备成功  $BaRuO_3$  薄膜后, 对  $ABO_3$  型钌酸盐功能薄膜的研究才逐步展开。然而, 近十年的文献资料显示, 这方面的研究几乎仍是空白, 说明钌酸盐材料还没受到学术界的足够重视。近年来, 开发和研制抗疲劳实用化铁电存储器迫切需要导电氧化物作电极材料, 因此, 与钙钛矿结构铁电薄膜相容的钌基氧化物薄膜电极开始倍受关注。许多文献报道了  $RuO_2$  薄膜的制备, Eom<sup>[3]</sup> 等利用溅射制成性能良好的  $SrRuO_3$ /

PZT/SrRuO<sub>3</sub> 多层膜铁电异质结。而 PLD 作为沉积氧化物薄膜的最有效工艺尚未用于制备钌酸盐薄膜。本文为开发新型集成铁电器件专用电极材料,采用 PLD 工艺,在 Si 片上沉积了 BaRuO<sub>3</sub> 薄膜,并结合后续热退火,制成了导电性能良好的 BaRuO<sub>3</sub> 薄膜。

## 2 BaRuO<sub>3</sub> 的晶体结构和导电机制

### 2.1 晶体结构

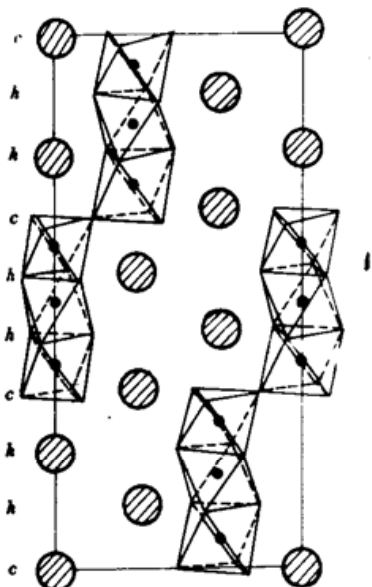


Fig. 1 Cation coordinations of the hexagonal (110) plane of BaRuO<sub>3</sub>, and small black circles are Ru; large striped circles are Ba, and c and h represent "cubic" and "hexagonal" layers

钙钛矿结构钌酸盐 ARuO<sub>3</sub> 型化合物的主要结构基元是 RuO<sub>6</sub> 八面体<sup>[3~6]</sup>。这些八面体可与邻近的八面体共享全部六个顶角,形成如 CaRuO<sub>3</sub>、SrRuO<sub>3</sub> 的理想钙钛矿结构。若 RuO<sub>6</sub> 与邻近的八面体共面连接,将形成图 1 所示的 ABO<sub>3</sub> 型六方结构,对 BaRuO<sub>3</sub>、BaO<sub>3</sub> 层沿六方 c 轴堆积,Ru<sup>4+</sup> 填充 1/4 的八面体空隙,Ba<sup>2+</sup> 参与 BaO<sub>3</sub> 层的密堆积。不妨用“h”表示六方密排层(相邻层相同),以“c”代表立方密排层(相邻层不同),则 BaRuO<sub>3</sub> 可描述成 BaO<sub>3</sub> 层 2/3 六方密堆积,1/3 立方密堆积,即 BaO<sub>3</sub> 密堆积层的堆垛次序为 chh...,其重复周期为 9。因此对整个晶体,只有 1/3 的八面体面共享,2/3 的 RuO<sub>6</sub> 只在一边共享一个八面体的面,在另一端则共享顶点,即有 67% 的氧八面体共面连接。

### 2.2 导电机制

各不相同,目前虽已建立许多模型,但还没得到很好的解释。其中,Goodenough 模型<sup>[4]</sup>认为,由于 BaRuO<sub>3</sub> 中 Ru—Ru 间产生了金属键作用,钌离子 t<sub>2g</sub> 电子的杂化产生聚集 d 状态电子。在 BaRuO<sub>3</sub> 晶体中,由于 RuO<sub>6</sub> 八面体共面相接,相邻八面体中的 Ru<sup>4+</sup> 离子间距只有 0.255 nm,短于 Ru 单质金属的 0.265 nm,使 Ru—Ru 间相互作用得到加强;同时,由于 Ru<sup>4+</sup> 半径较小(约 0.062 nm),其 4d 轨道电子云的径向伸展足以使其与邻近 Ru<sup>4+</sup> 的电子轨道发生杂化作用,形成内部能带,高自旋 d<sup>4</sup> 电子结构只使能带部分占满。最终形成其金属特征的导电性。

## 3 实验方法

用分析天平按等摩尔量称取 BaCO<sub>3</sub> 和水合 RuO<sub>2</sub> 粉末,将其充分混合后在 800 ℃空气中预烧结 12 h,通过 (RuO<sub>2</sub> + BaCO<sub>3</sub>) → BaRuO<sub>3</sub> + CO<sub>2</sub> 反应,合成 BaRuO<sub>3</sub> 陶瓷片,粉碎得到 BaRuO<sub>3</sub> 粉末。再以约 80 MPa 载荷压模制成 φ20 mm 的

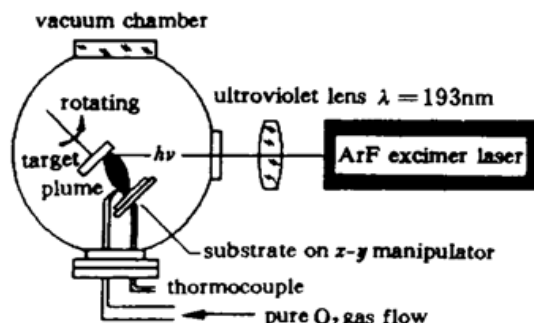


Fig. 2 A schematic diagram of the system for pulsed laser ablation

圆片，并将其置入电阻炉中，在1300和1400℃的高温下各烧结2 h后取出。制成的靶呈蓝黑色，电阻率约 $10^{-4}\Omega\cdot\text{cm}$ 。在图2所示的PLD系统上，以波长为193 nm、能量密度约20 mJ/mm<sup>2</sup>的ArF准分子激光束，以5 Hz的脉冲频率，经紫外透镜聚焦入射到真空沉积腔(20 Pa)中的BaRuO<sub>3</sub>靶表面，激光作用于靶形成瞬时等离子体，沉积到 $p:\text{Si}(100)$ 衬底上，控制总脉冲次数达8000次，衬底温度分别为200℃和400℃，形成一定厚度的BaRuO<sub>3</sub>薄膜。试样分两组在KST-2快速退火炉上，在空气中进行历时600 s不同温度(600℃, 700℃和800℃)退火。用X射线衍射(XRD)分析薄膜相组成和结晶性，在Hall剥层测试系统上测量薄膜室温电阻率，并用AES和RBS分析其成分深度分布及其成分均匀性。

#### 4 实验结果和分析

图3为BaRuO<sub>3</sub>靶的XRD谱显示，陶瓷靶结晶性良好，呈单相钙钛矿结构，导电性较好，室温电阻率为 $10^{-4}\Omega\cdot\text{cm}$ 量级，说明其合成和烧结工艺较合适。图4和图5分别是200℃和400℃沉积膜及其退火处理后的XRD谱，在该条件下，沉积状态膜为非晶态，XRD谱呈非晶包，无任何BaRuO<sub>3</sub>的特征峰出现，电学测量呈绝缘性。经退火处理后，薄膜都结晶成具有〈110〉取向、高电导性的钙钛矿相。其中，以400℃沉积和700℃退火的结果较好。Hall测试仪测量其平均电阻率为0.004 $\Omega\cdot\text{cm}$ ，比文献[2]报道的还低一个数量级。当然，相同条件下延长退火时间可进一步提高薄膜的结晶质量。因此，把400℃沉积膜在700℃退火30 min，结果发现电阻率比退火10 min的有较大的降低，平均电阻率降为0.0024 $\Omega\cdot\text{cm}$ 。

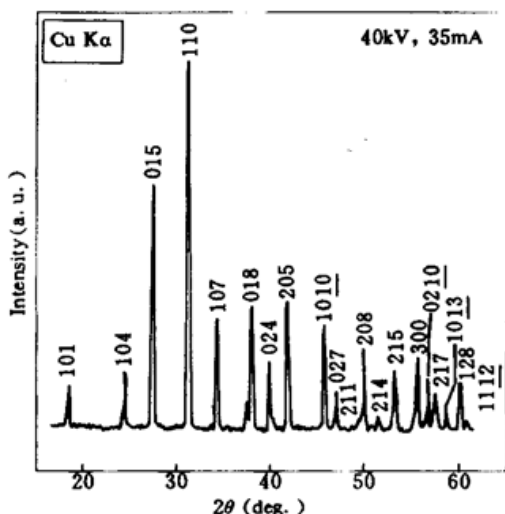


Fig. 3 X-ray diffraction patterns of a BaRuO<sub>3</sub> ceramic target

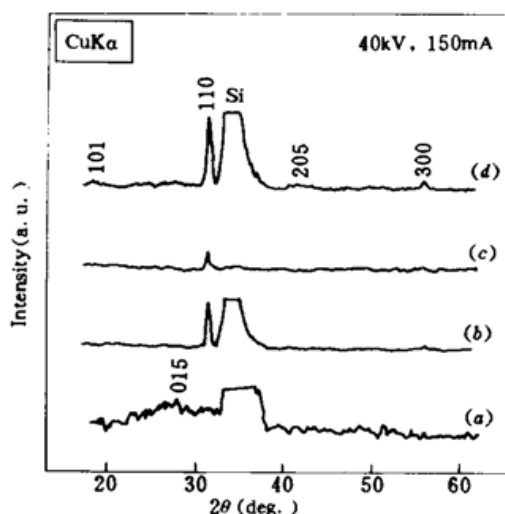


Fig. 4 XRD-patterns of BaRuO<sub>3</sub> thin films on Si<100> deposited at 200 °C (a) and subsequently annealed for 10 min at 600 °C (b), 700 °C (c), and 800 °C (d)

与文献[2]的RF磁控溅射结果相比可见：在Si<100>衬底上生长的BaRuO<sub>3</sub>薄膜，虽工艺不同，但薄膜结晶时都倾向于产生〈110〉面织构。这可能是因为钙钛矿结构BaRuO<sub>3</sub>的〈110〉与Si<100>晶面较匹配。AES分析得到图6的表面微分谱和薄膜成分深度分布，表面没有检测到

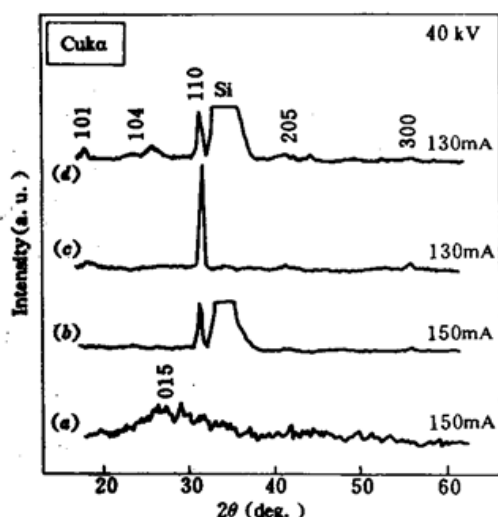


Fig. 5 XRD-patterns of BaRuO<sub>3</sub> thin films on Si(100) deposited at 400 °C (a) and subsequently annealed for 10 min at 600 °C (b), 700 °C (c), and 800 °C (d)

Si 信号, Ba, Ru, O 三元素在薄膜区几乎同步变化, BaRuO<sub>3</sub>/Si 界面较分明, 界面处 Si 信号的增强与 Si 的氧化和扩散有关。图 7 为 RBS 分析得到的与 AES 一致的结果: 薄膜质量较好, 成分沿深度均匀分布, Si、Ru 信号的缓慢连续变化说明 BaRuO<sub>3</sub>/Si 界面可能发生了互扩散。

## 5 结 论

本文利用 PLD 和后继热退火, 成功地在 Si(100) 村底上制备了高导电性、具有(100) 取向的 BaRuO<sub>3</sub> 薄膜。室温电阻率达到 0.0024 Ω · cm, AES 和 RBS 分析都说明膜区成分均匀, 与 Si 村底的界面处形成了过渡层。结果表明, PLD 将是制备高导电性钌酸盐薄膜的一种极有效工艺, 其工艺优化研究正在进行中。

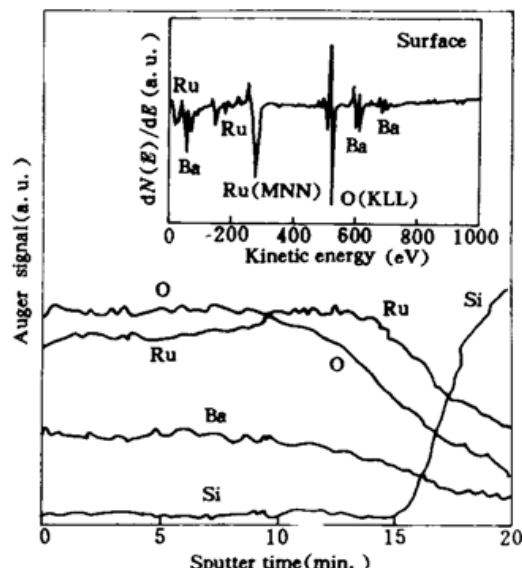


Fig. 4 AES depth profile of BaRuO<sub>3</sub> thin film on Si(100) inserted with its surface spectrum as a function of kinetic energy

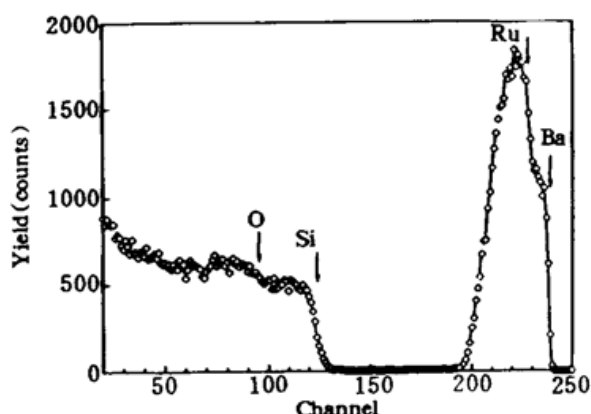


Fig. 7 RBS spectrum of BaRuO<sub>3</sub> thin film on Si(100) deposited at 400 °C and atmospherically annealed at 700 °C for 600 s

## 参 考 文 献

- W. Bensch, H. W. Schmalle, A. Reller. Structure and Thermomechanical reactivity of CaRuO<sub>3</sub> and SrRuO<sub>3</sub>. *Solid State Ionics*, 1990, 43:171~177
- O. Takikawa, H. Hiraki, M. Harata et al.. A new BaRuO<sub>3</sub> thin film resistor for high speed thermal printing. in IEEE Proceedings of 36th Electronic Components Conference, 1986. 214~217
- C. B. Eom, R. J. Cava, R. M. Fleming et al.. Single-crystal epitaxial thin films of isotropic metallic oxides Sr<sub>1-x</sub>Ca<sub>x</sub>RuO<sub>3</sub> (0 ≤ x ≤ 1). *Science*, 1992, 258:1766~1769
- P. R. Van Loan. Conductive ternary oxides of ruthenium, and their use in thick film resistor glazes. *Ceramic Bulletin*, 1972, 51(3):231~233
- P. C. Donohue, L. Katz, R. Ward. Crystal structure of barium ruthenium oxide and related compounds. *Inorganic*

- Chemistry*, 1965, 4(3):306~310
- 6 C. B. Eom, R. B. Van Dover, Julia M. Phillips *et al.*. Fabrication and properties of epitaxial ferroelectric heterostructures with  $(\text{SrRuO}_3)$  isotropic metallic oxide electrodes. *Appl. Phys. Lett.*, 1987, 50(13):854~856

## Highly Electrical Conductive $\text{BaRuO}_3$ Thin Film and Its Preparation by Pulsed Laser Deposition

Xu Huaping Xin Huoping Zheng Lirong Lin Chenglu

(State Key Laboratory of Functional Materials for Informatics, Shanghai Institute of Metallurgy,  
Chinese Academy of Sciences, Shanghai 200050)

Gu Mei Cao Zechun

(Faculty of Materials, Shanghai University, Shanghai 201800)

**Abstract** Ruthenate is a typical complex transition metal oxides of  $\text{ABO}_3$  type, which possesses metallic conductivity. Its film can be used as electrode material in integrated ferroelectric devices, etc. In this context, the perovskitic features and conducting mechanisms in  $\text{BaRuO}_3$  crystal have been reviewed or analyzed. Perovskite  $\text{BaRuO}_3$  thin films of low resistivity (resistivity ranges from  $10^{-2} \sim 10^{-3} \Omega \cdot \text{cm}$  at room temperature) with  $\langle 110 \rangle$ -orientation have successfully been prepared on  $\text{Si}\langle 100 \rangle$  substrate by ArF excimer pulsed laser deposition (PLD) accompanied with subsequent annealing. Both Auger electron spectroscopy (AES) and Rutherford backscattering spectroscopy (RBS) showed that the film was pure and with good compositional homogeneity while there formed an intermediate diffusion layer between  $\text{BaRuO}_3$  and Si-substrate.

**Key words** pulsed laser deposition, transition metal oxides, ruthenate thin film